



## اندازه بھینه بلورک‌های رنگدانه فتالوسيانين مس در فيلم‌های نازک گيرنده‌های نوری آلی

حسین خانی<sup>۱</sup>، سید روح‌الله عقدائی<sup>۲\*</sup>، رسول ازئیان<sup>۳</sup>

۱- کارشناس ارشد، دانشکده فیزیک، دانشگاه علم و صنعت ایران، تهران، ایران، صندوق پستی: ۱۶۸۴۶-۱۳۱۱۴

۲- دانشیار، دانشکده فیزیک، دانشگاه علم و صنعت ایران، تهران، ایران، صندوق پستی: ۱۶۸۴۶-۱۳۱۱۴

۳- استادیار، دانشکده فیزیک، دانشگاه علم و صنعت ایران، تهران، ایران، صندوق پستی: ۱۶۸۴۶-۱۳۱۱۴

تاریخ دریافت: ۱۳۸۸/۵/۲۶ در دسترس به صورت الکترونیکی از: ۱۳۸۹/۳/۲۰

### چکیده

بهینه‌سازی کیفیت فیلم‌های نازک گیرنده‌های نوری آلی از مهمترین مباحث در زمینه درام‌های زیراکس و چاپگرهای لیزری به شمار می‌آید. یکی از عوامل مؤثر در آن، اندازه دانه‌های مواد تشکیل دهنده لایه تولیدکننده حامل بار می‌باشد. در نخستین بخش این پژوهش با استفاده از پراش پرتوهای  $X$ ، اندازه بلورک‌ها و کرنش شبکه نمونه آسیا نشده فتالوسيانين مس و نمونه آسیا شده آن در مدت زمان‌های ۱۰۰، ۱۸۰ و ۲۷۰ دقیقه به روش واریانس تعیین شده است. این نمونه‌ها در لایه تولیدکننده حامل‌های بار در گیرنده‌های نوری زیراکس به کار برده و کیفیت این گیرنده‌ها با یکدیگر مقایسه شده است. در بخش دیگر با استفاده از پراش پرتوهای  $X$ ، ریزساختار نمونه‌های آسیا شده فتالوسيانين مس در مدت زمان‌های ۱۵، ۳۰، ۶۰، ۹۰، ۱۱۰، ۲۷۰، ۳۶۰ و ۶۰۰ دقیقه به روش واریانس تعیین و مقدار بهینه اندازه بلورک‌های فتالوسيانين مس (در فیلم‌های نازک گیرنده‌های نوری) معرفی شده است.

واژه‌های کلیدی: گیرنده‌های نوری، پراش پرتوهای  $X$ ، پهن‌شدگی خطوط پراش، ریزساختار، فتالوسيانين مس.

## Optimum Grain Size of Copper Phthalocyanine Pigments in Organic Thin Film Photoreceptors

H. Khani, S. R. Aghdaee\*, R. Ajeian

School of physics, Iran University of Science and Technology, P.O.Box: 16846-13114, Tehran, Iran

### Abstract

One of the great concerns in the study of organic thin film photoreceptors is to enhance the efficiency of thin film photoreceptors. This efficiency is to a great degree, affected by pigment grain size dispersed in charge generation layer. In the first part of the project the average crystallite domain size and the root-mean-square strain of non milled sample of copper phthalocyanine and samples milled for 90, 180, 270 minutes have been determined using X-ray diffraction data and variance method. These samples were used as charge generation layers in the organic photoreceptors and their performances were evaluated. In the second part, copper phthalocyanine pigments were milled for 15, 30, 60, 90, 180, 270, 360, 600 minutes and their microstructures were studied as a function of milling time. Then the optimum grain size of pigments (in organic photoreceptors) were investigated. J. Color Sci. Tech. 4(2010), 33-39 © Institute for Color Science and Technology.

**Keywords:** Photoreceptors, X-ray diffraction, Line broadening, Microstructure, Copper phthalocyanine.

دستگاهی، اندازه کوچک دانه‌ها و کرنش<sup>۱۰</sup> شبکه می‌باشد به گونه‌ای که مطابق رابطه ۱ نیمرخ خط پراش مشاهده شده  $(x, h)$ ، پیچش<sup>۱۱</sup> نیمرخ پهن شدگی دستگاهی  $(x, g)$  و پهن شدگی خود نمونه  $f(x)$  است [۴، ۵].

$$h(x) = g(x) * f(x) \quad (1)$$

برای تحلیل ریز ساختار مواد، ابتدا باید پهن شدگی ناشی از اثرات دستگاهی را از پهن شدگی نمونه جدا کرد. تهیه نقش پراش از یک نمونه استاندارد که پهن شدگی فیزیکی آن حداقل باشد می‌تواند سهم پهن شدگی دستگاهی را مشخص کند [۵]. از طرفی پهن شدگی نمونه بردو نوع است:

پهن شدگی ناشی از اندازه کوچک بلورک‌ها،  $\beta_s$  و پهن شدگی ناشی از کرنش غیر یکنواخت  $\beta_e$  که به صورت زیر به زاویه برآگ  $\theta_B$  مربوط می‌شوند [۶]:

$$\beta_s \propto \frac{1}{\cos \theta_B} \quad (2)$$

$$\beta_e \propto \tan \theta_B \quad (3)$$

با توجه به روابط ۲ و ۳ می‌توان پهن شدگی ناشی از اندازه بلورک‌ها و پهن شدگی ناشی از کرنش غیر یکنواخت را از یکدیگر تفکیک کرد.

یکی از روش‌های تعیین ریز ساختار مواد بلوری، روش واریانس است. واریانس یا گشتاور دوم خط پراش حول مرکز خط پراش،  $\theta_0$ ، در گستره  $\sigma \pm$  به صورت زیر تعریف می‌شود [۷-۹]:

$$W(\sigma) = \frac{\int_{-\infty}^{2\theta_0 - \sigma} (2\theta - 2\theta_0)^2 I(2\theta) d(2\theta)}{\int_{-\infty}^{2\theta_0 + \sigma} I(2\theta) d(2\theta)} \quad (4)$$

اگر شدت خط پراش در دنباله خط با عکس مجدور فاصله از مرکز قله کاهش یابد، واریانس تابع خطی از گستره  $\sigma$  است [۸، ۹].

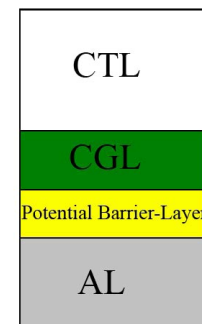
$$W(\sigma) = W_0 + k\sigma \quad (5)$$

در این رابطه،  $k$  و  $W_0$  شیب و عرض از مبدأ واریانس هستند. با در

10-Strain  
11- Convolution

## ۱- مقدمه

گیرنده‌های نوری<sup>۱</sup> آلی عموماً از چند لایه تشکیل شده‌اند که هر لایه وظیفه خاصی را انجام می‌دهد: (۱) لایه تولید کننده بار (CGL)، که لایه‌ای نازک و متسلسل از رنگدانه‌های آلی است و با تابش نور، به طور مؤثری قادر به تولید الکترون-حفره است، (۲) لایه ضخیم‌تری که انتقال دهنده بار (CTL)<sup>۳</sup> است و برای طول موج‌های ۴۵۰-۱۰۰۰ نانومتر کاملاً شفاف است، (۳) لایه سد کننده پتانسیل<sup>۴</sup> که بین لایه تولید کننده بار و یک زیرلایه رسانای الکتریکی قرار دارد (شکل ۱).<sup>۱</sup>



شکل ۱: طرح‌واره‌ای از یک گیرنده نوری آلی دولایه‌ای.

فتالوسیانین‌ها از جمله موادی هستند که به عنوان لایه تولید کننده بار در گیرنده‌های نوری و سلول‌های فتوولتائیک<sup>۵</sup> آلی به کار می‌روند. رسانش نوری<sup>۶</sup> بسیار خوب فتابولوسیانین‌ها از دیر باز مورد توجه بوده، و ابزار فوتولکتریک ساخته شده از آنها مورد بررسی بسیاری از محققان قرار گرفته است. کوچکتر شدن اندازه رنگدانه در فیلم‌های نازک، به معنای بزرگتر شدن سطح خارجی آنها و لذا، افزایش سطح مقطع برخورد نهایی فoton‌ها با لایه تولید کننده بار است. بنابراین جذب و تولید حامل‌های بار و به دنبال آن، بهره کوانتومی حامل‌ها افزایش می‌یابد [۱]. افزون بر آن، استحکام مکانیکی لایه، از پارامترهای مهم دیگر برای تولید صفحات گیرنده نوری و سلول‌های خورشیدی است که با کاهش اندازه دانه‌ها<sup>۷</sup>، افزایش می‌یابد [۳].

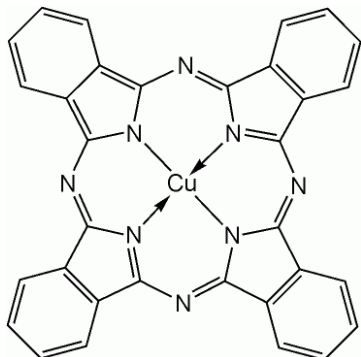
یکی از راهکارهای تعیین ریز ساختار<sup>۸</sup> مواد بلوری، استفاده از پراش پرتوهای X به وسیله نمونه و تحلیل پهن شدگی خطوط پراش<sup>۹</sup> است. پهن شدگی خطوط پراش ناشی از عوامل مختلف از جمله اثرات

- 1- Photoreceptors
- 2- Charge Generation Layer
- 3- Charge Transport Layer
- 4- Potential barrier-layer
- 5- Photovoltaic
- 6- Photo conductivity
- 7- Grain size
- 8- Micro-structure
- 9- Line broadening

## ۲- بخش تجربى

### ۱-۲ مواد

مولکول فتالوسيانين مس، يك تركيب آلى-فلزی<sup>۳</sup> با فرمول شيميايی  $C_{32}H_{16}CuN_8$  و نام اختصاری CuPc است؛ مولکولي با يك حلقة آروماتيك مسطح<sup>۴</sup>، كه يون مس در مرکز اين حلقه قرار دارد و دو پيوند کووالانسى و دو پيوند داتيوي<sup>۵</sup> را تشکيل مى‌دهد.



شکل ۲: ساختار يك مولکول فتالوسيانين مس.

فتالوسيانين‌ها از خواص مغناطيسی و نيمرسانايی خوبی برخوردار نیستند اما با توجه به پايداري آنها در برابر گرما، گزینه مناسبی برای فيلم‌های نازک نيمرساناي آلى به شمار مى‌روند.

فتالوسيانين‌ها و ديگر مواد آلى، بسته به روش توليد يا شرياط رشد، در شکل‌های بلوري مختلفی ظاهر مى‌شوند. اين ويزگی را «چند شکلی بودن»<sup>۶</sup> می‌خوانند. رايچترین شکل فتالوسيانين‌ها، فازهای  $\alpha$  و  $\beta$  هستند که سلول‌های واحد آنها به ترتیب، شبه اورتورومبیك<sup>۷</sup> و مونوکلینیك<sup>۸</sup> است [۱۰].

### ۲-۲ روش کار

در مرحله اول، نمونه فتالوسيانين مس (تهیه شده از پژوهشگاه علوم و فناوري رنگ)، توسط دستگاه آسيای ماهواره‌ای، در مدت زمان‌های ۹۰، ۱۸۰، ۲۷۰ دقیقه آسیا شد. سپس از نمونه‌های آسیا شده و آسیا نشده و نمونه بس بلور  $Al_2O_3 - \alpha$  (نمونه استاندارد)، به روش روبش پله‌ای با تابش  $Cuk\alpha$  با طول موج  $\lambda = 1.5418^{\circ}$  و با استفاده از پراش سنج Philips Pw3710 ساخت شركت Philips نقش پراش گرفته شد که جزئيات جمع‌آوري داده‌های پراش در جدول ۱ و نقش‌های پراش مربوطه در شکل‌های ۳ و ۴ آورده شده است.

3- Organometallic

4- Aromatic macrocyclic ring

5- Dative bond

6.-Polymorphism

7- Quasi-orthorhombic

8- Monoclinic

دست داشتن شيب و عرض از مبدأ واريانس نيمرخ مشاهده شده و نيمرخ هندسي دستگاه، مى‌توان شيب و عرض از مبدأ واريانس نيمرخ خالص نمونه، يعني  $k_f$  و  $W_{of}$  را از روابط زير محاسبه کرد [۸، ۹]:

$$W_{of} = W_{oh} - W_{og} + (1/2)\pi^2 k_g K_f \quad (6)$$

$$K_f = K_h - K_g \quad (7)$$

كه در اين روابط،  $W_{oh}$  و  $k_h$ ، عرض از مبدأ و شيب واريانس نيمرخ مشاهده شده و  $W_{og}$  و  $k_g$  نيز عرض از مبدأ و شيب واريانس نيمرخ دستگاهی هستند.

اندازه بلورک‌ها D و کرنش شبکه e از روابط ۸ و ۹ به دست مى‌آيند [۸، ۹]:

$$W_{of} = 4 \tan^2 \theta_0 < e^2 > \quad (8)$$

$$k_f = \frac{\lambda K}{\pi^2 \cos^2 \theta_0 D} \quad (9)$$

پارامتر K به شکل بلورک‌ها بستگی دارد. تجربه نشان داده است که در اغلب موارد، مى‌توان شکل خطوط پراش را با تابع شبه ويت (P-V)<sup>۱</sup> توصيف کرد. بدین سان، واريانس نيمرخ را مى‌توان بر حسب مشخصات نيمرخ، به صورت زير نوشت [۸، ۹]:

$$W(\sigma) = \beta^{-1} w^3 [\pi^{1/2} 2^{-1} (1-\eta) (\ln 2)^{-3/2} - \eta \pi] + 2\beta^{-1} \eta w^2 \sigma \quad (10)$$

$$W_0 = \beta^{-1} w^3 [\pi^{1/2} 2^{-1} (1-\eta) (\ln 2)^{-3/2} - \eta \pi] \quad (11)$$

$$\kappa = 2\beta^{-1} \eta w^2 \quad (12)$$

$$\beta = w [\pi \eta + (1-\eta) \left( \frac{\pi}{\ln 2} \right)^{\frac{1}{2}}] \quad (13)$$

كه در آن  $\beta$  پهنانی انتگرالی،  $w$  پهنانی نيمرخ در نيمه ارتفاع (FWHM) و  $\eta$  سهم تابع کوشی در تابع (P-V) است. در اين مطالعه با استفاده از پراش پرتوهای X و روش واريانس، ريزساختار نمونه‌های فتالوسيانين مس<sup>۲</sup>، تعیين و مقدار بهينه اندازه بلورک‌ها برای گيرنده‌های نوري معرفی شده است.

1- Pseudo-Voight

2- Copper-Phthalocyanine

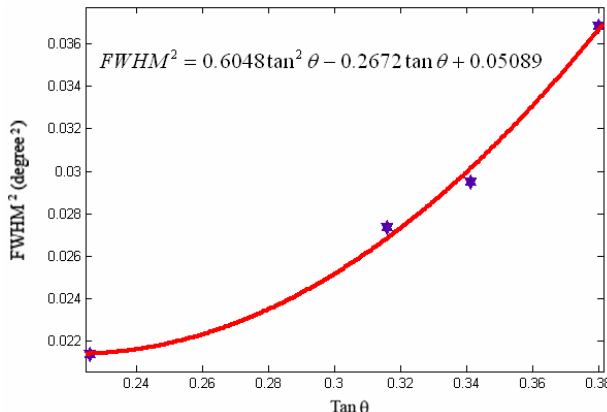
از مقایسه نقش‌های پراش شکل ۴ با نقش‌های پراش پایگاه اطلاعاتی PDF نتیجه می‌شود که نمونه آسیا نشده در فاز  $\beta$  قرار دارد و در نمونه‌های آسیا شده، خط پراش ۱۰۱ و ۰۰۲ ناپدید شده و خط‌های ۱، ۲ (با همپوشانی شدید) و ۳ از فاز  $\alpha$  ظاهر می‌شوند. ولی خط ۱۰۱ از فاز  $\beta$  تغییری نکرده و فقط شدت آن کمتر می‌شود. بنابراین برای تحلیل ریزساختار از این خط استفاده شد.

برای تصحیح اثرات دستگاهی، داده‌های پراش نمونه استاندارد در زوایای کوچک پراش ۲۰ تا ۴۳ درجه به کمک نرم‌افزار XFIT با تابع شبیه ویت برآراش و پارامترهای نیم‌رخ ( $\eta$  و  $FWHM$ ) چهار خط پراش که در این بازه قرار دارند، تعیین گردید. مقادیر به دست آمده در روابط ۱۴ و ۱۵ برآراش و نمودار تغییرات  $FWHM^2$  بر حسب  $\theta$  و  $1 - \eta$  بر حسب  $\tan(\theta)$  رسم شد (شکل ۵ و ۶).

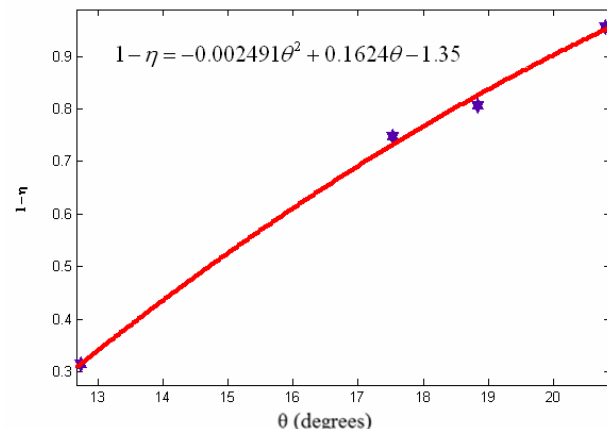
$$(FWHM)^2 = U \tan^2 \theta + V \tan \theta + W \quad (14)$$

$$1 - \eta = c \theta^2 + b \theta + a \quad (15)$$

از این نمودارها که رفتار دستگاه در پهن شدن خطوط پراش در بازه ۲۰-۴۳ درجه را نشان می‌دهند، به شرح زیر برای تصحیح اثرات دستگاه استفاده شد.



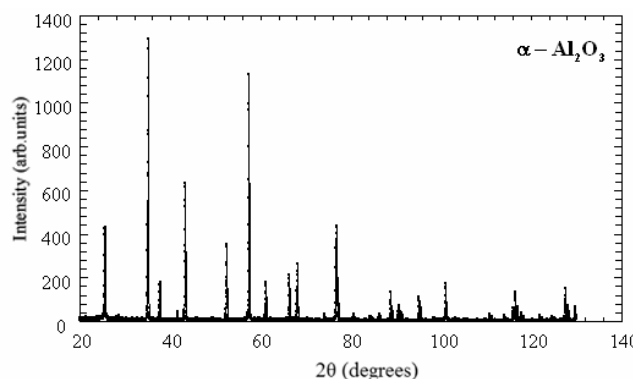
شکل ۵: نمودار تغییرات  $FWHM^2$  بر حسب  $\tan \theta$ .



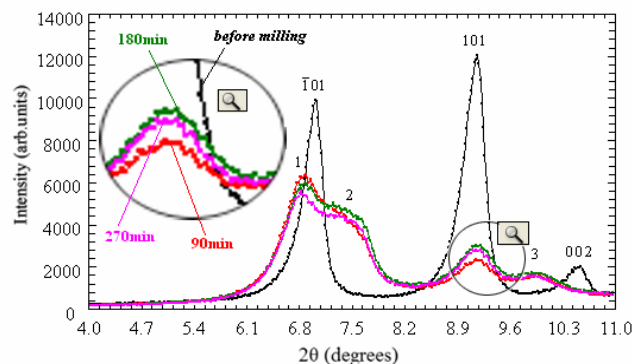
شکل ۶: نمودار تغییرات  $1 - \eta$  بر حسب  $\theta$ .

جدول ۱: شرایط جمع آوری داده‌های پراش.

نمونه	گستره روش ( $2\theta^\circ$ )	گام ( $\Delta 2\theta^\circ$ )	زمان شمارش (ثانیه)
CuPc	۴-۱۱	۰,۰۲	۵
$\alpha$ -Al <sub>2</sub> O <sub>3</sub>	۲۰-۱۳۰	۰,۰۲	۵



شکل ۳: نقش پراش نمونه استاندارد  $\alpha$ -Al<sub>2</sub>O<sub>3</sub>.



شکل ۴: مقایسه نقش پراش نمونه فتالوسيانين مس آسيا نشده و نمونه آسيا شده آن در مدت زمان‌های ۹۰، ۲۷۰ و ۱۸۰ دقیقه.

با استفاده از نرم افزار XFIT نقش پراش نمونه‌ها با تابع شبیه ویت (P-V) برآراش و مشخصات خط‌های پراش ( $\eta$  و  $FWHM$ ) تعیین شدند.

نقش پراش موجود در پایگاه اطلاعاتی PDF<sup>۱</sup> نشان می‌دهد که نمونه فتالوسيانين با فاز  $\beta$  در محدوده ۴-۱۱ درجه، دارای سه خط  $2\theta_{002} = 10.6^\circ$  و  $2\theta_{101} = 7.04^\circ$  درجه،  $2\theta_{\bar{1}01} = 9.22^\circ$  درجه،  $2\theta_1 = 6.69^\circ$  درجه است. نمونه با فاز  $\alpha$  نیز، در این محدوده دارای سه خط پراش با انديس‌های ميلر ناشناخته است که در شکل ۴ با اعداد ۱، ۲ و ۳ نشان داده شده‌اند. زاویه پراش اين خط‌ها عبارتند از:  $2\theta_1 = 6.69^\circ$  و  $2\theta_2 = 7.3^\circ$ ،  $2\theta_3 = 9.9^\circ$  و  $2\theta_4 = 10.6^\circ$ .

۱- Profile diffraction file

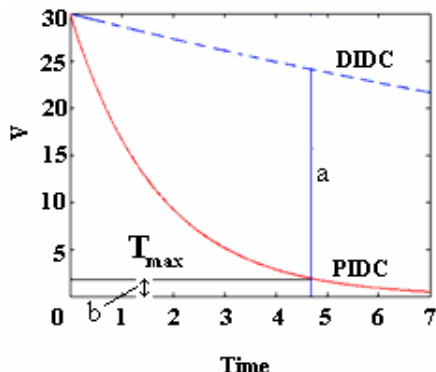
با زماني  $2\theta = 4 - 12^\circ$  با گام  $0.02^\circ$  و زمان شمارش  $10$  ثانیه با دستگاه pw3710 ساخت شرکت فيليپس نقش پراش تهيه شد که نقش های مربوطه در شکل  $8$  آورده شده است.

جدول  $2$ : اندازه بلورک ها و کرنش شبکه نمونه های فتالوسيانيين مس آسيا شده در مدت زمان های  $0^\circ, 90^\circ, 180^\circ$  و  $270^\circ$  دقيقه.

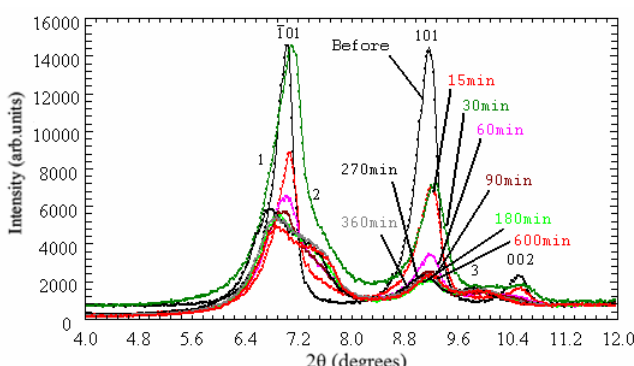
کرنش شبکه زمان آسيا کردن (دقickه)	اندازه بلورک ها ( $A^\circ$ )	$\langle e^2 \rangle^{1/2} \times 10^{-4}$
.	124	2
90	76	5
180	64	6
270	55	8

جدول  $3$ : پارامترهای  $a$  و  $b$  برای گيرنده های نوري شامل فتالوسيانيين مس آسيا شده در مدت زمان های  $90^\circ, 180^\circ$  و  $270^\circ$  دقيقه.

زمان آسيا کردن (دقickه)	$a(V)$	$b(V)$	$T_{max}(ms)$
90	10.41	6.24	392
180	11.22	5.91	336
270	16.56	3.74	19



شکل  $7$ : نمونه ای از یک منحنی تخلیه الکتریکی تاریکی و روشنایی [۲].



در برابر خردشده‌گی بیشتر می‌شود و از مرحله‌ای به بعد، نمونه به صورت خمیر مانند در می‌آید. به طور مشابه انتظار می‌رود در مرحله اول نیز، کاهش اندازه بلورک‌ها و افزایش کرنش شبکه، پس از ۲۷۰ دقیقه به صورت منحنی خط‌چین در شکل ۹ و ۱۰ باشد. با توجه به ابعاد مولکول فتالوسيانين مس خردکردن بیشتر نمونه مناسب به نظر نمی‌رسد زیرا ممکن است پیوندهای مولکولی نمونه شکسته شوند، همچنین ممکن است گلوله‌ها و جام فولادی دستگاه آسیا سائیده شده و با نمونه مخلوط گردد. با توجه به نتایج به دست آمده در مرحله اول و دوم، نمونه فتالوسيانين مس آسیا شده در ۲۷۰ دقیقه (با اندازه بلورک  $A^{\circ}$  در مرحله اول و  $51 A^{\circ}$  در مرحله دوم) گزینه‌ای بسیار مناسب برای لایه CGL می‌باشد.

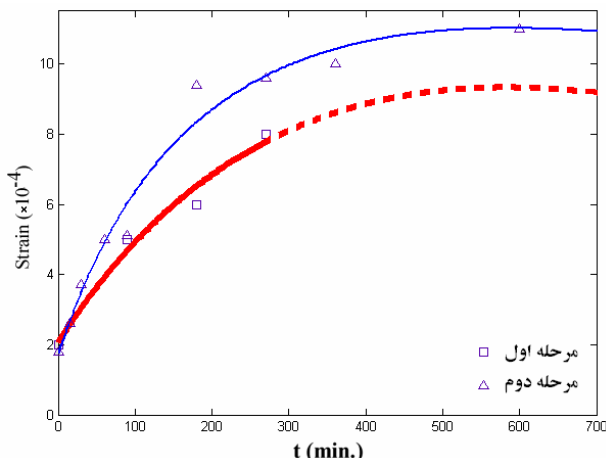
داده‌های پراش به دست آمده مشابه مرحله اول تجزیه و تحلیل و پارامترهای ریزساختار آنها محاسبه شد که خلاصه آن در جدول ۴ درج شده است.

در شکل ۹ و ۱۰، نمودار اندازه بلورک‌ها و کرنش شبکه، برحسب زمان آسیا رسم شده است. در این شکل‌ها مقادیر به دست آمده از مرحله اول (جدول ۲) نیز نشان داده شده‌اند.

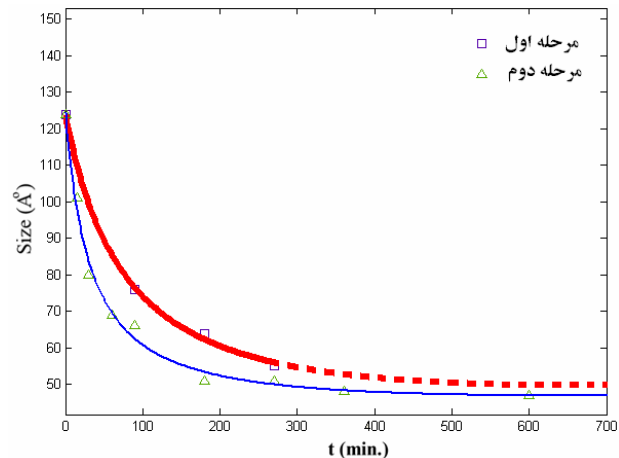
چنانچه ملاحظه می‌شود آهنگ کاهش اندازه بلورک‌ها و افزایش کرنش شبکه از زمان ۰ تا ۹۰ دقیقه سریع است. اما پس از آن، به شدت کند شده و اندازه بلورک‌ها و کرنش شبکه در زمان‌های بالاتر از ۲۷۰ دقیقه تقریباً به مقدار ثابتی می‌کند. در واقع با کوچکتر شدن اندازه بلورک‌ها، کرنش شبکه افزایش یافته و مقاومت نمونه

جدول ۴: اندازه بلورک‌ها، کرنش شبکه و پارامترهای به کار رفته در محاسبه آنها برای نمونه‌های CuPc.

زمان آسیا	۶۰ دقیقه	۵۰ دقیقه	۴۰ دقیقه	۳۰ دقیقه	۲۰ دقیقه	۱۵ دقیقه	۱۰ دقیقه	۵ دقیقه	۲ دقیقه	۰ دقیقه	۲۰۰۱
مشخصات نیمرخ دستگاهی در خط ۱۰۱	$\eta \times (10^{-4})$	۳۳۸۵	۲۴۲۳	۲۴۵۷	۲۴۱۴	۳۴۰۰	۳۴۱۱	۳۳۶۱	۳۴۱۸	۳۴۳۲	$20^{\circ}$
زاویه پراش	$FWHM^{\circ} (x10^{-4})$	۱۸۲۸	۱۸۲۶	۱۸۲۴	۱۸۲۷	۱۸۲۸	۱۸۲۷	۱۸۳۰	۱۸۲۶	۱۸۲۶	۱۰۱
	$W_{oh}(x10^{-6})$	-۷,۲۵	-۱۰,۲	-۱۴,۰۳	-۱۷,۸۱	-۱۹,۸	-۳۰,۸۴	-۳۰,۷۵	-۳۳,۷۸	-۳۶,۰۹	
	$k_h(x10^{-4})$	۱۷	۲۰	۲۴	۲۷	۲۸	۳۵	۳۵	۳۷	۳۸	
	$\beta_h(x10^{-4})$	۹۲	۱۰۵	۱۲۱	۱۳۳	۱۴۰	۱۷۴	۱۷۴	۱۸۳	۱۸۹	
	$W_{og}(x10^{-8})$	-۴,۸۸	-۶,۷۱	-۸,۲۹	-۶,۲۶	-۵,۶۱	-۶,۱۳	-۳,۷۳	-۶,۴۷	-۷,۱۲	
	$k_g(x10^{-4})$	۴,۳۷	۴,۴۱	۴,۴۴	۴,۴	۴,۳۸	۴,۳۹	۴,۳۵	۴,۲	۴,۴۲	
	$\beta_g(x10^{-4})$	۳۹	۳۹	۳۹	۳۹	۳۹	۳۹	۳۹	۳۹	۳۹	
	$W_{of}(x10^{-6})$	-۴,۴۸	-۶,۷۱	-۹,۶۶	-۱۲,۸۴	-۱۴,۶۴	-۲۴,۱۴	-۲۴,۱۳	-۲۶,۶۳	-۲۸,۷	
	$k_f(x10^{-4})$	۱۳	۱۶	۲۰	۲۳	۲۴	۳۱	۳۱	۳۳	۳۴	
	$D(A^{\circ})$	۱۲۴	۱۰۱	۸۰	۶۹	۶۶	۵۱	۵۱	۴۸	۴۷	
	$<e^2>^{1/2} (x10^{-4})$	۱,۸	۲,۶	۳,۷	۵	۵,۱	۹,۴	۹,۶	۱۰	۱۱	



شکل ۱۰: نمودار تغییرات کرنش شبکه بر حسب زمان آسیا. منحنی پایین نتایج مرحله اول آزمایش و منحنی بالا نتایج مرحله دوم را نشان می‌دهد. انتظار می‌رود منحنی به دست آمده از مرحله اول، در زمان‌های بیشتر از ۲۷۰ دقیقه به صورت خط چین درآید.



شکل ۹: نمودار تغییرات اندازه بلورک‌ها بر حسب زمان آسیا. منحنی بالا نتایج مرحله اول آزمایش و منحنی پایین نتایج مرحله دوم را نشان می‌دهد. انتظار می‌رود منحنی به دست آمده از مرحله اول، در زمان‌های بیشتر از ۲۷۰ دقیقه به صورت خط چین درآید.

#### ۴- نتیجه‌گیری

پس از مدتی که بستگی به شرایط آسیا کردن دارد به مقدار حدی خود میل می‌کند. نمونه اولیه بس بلور فتالوسيانين مس در فاز  $\beta$  قرار دارد و با فرآیند آسیا کردن رفته رفته فاز  $\beta$  ناپدید شده، فاز  $\alpha$  ظاهرمی‌شود به گونه‌ای که با افزایش مدت زمان آسیا کردن، فاز  $\alpha$  فاز  $\beta$  را تشکیل می‌دهد. تأثیر فازها بر کیفیت گیرنده نوری در این پژوهش مورد نظر نبوده است که انجام آن را می‌توان برای بررسی بیشتر در این زمینه پیشنهاد نمود.

در صورت استفاده از نمونه فتالوسيانين مس در فیلم‌های نازک گیرنده نوری آلي به منظور دستیابی به کیفیت مطلوب، ابتدا باید نمونه اولیه بس بلور فتالوسيانين مس به مدت کافی تا رسیدن به اندازه حدود  $50 \text{ } \text{\AA}$  آسیا شود. این زمان در مورد نمونه‌های به کار رفته در این کار ۲۷۰ دقیقه تشخیص داده شد. در فرآیند آسیا کردن نمونه فتالوسيانين مس، آهنگ کاهش اندازه بلورک‌ها و افزایش کرنش شبکه در آغاز سریع اما با گذشت زمان به سرعت کند می‌شود و

#### ۵- مراجع

- T. Saito, T. Kawanshi, A. Kakuta, Photocarrier generation of phthalocyanine particles dispersed in a polymer: effects of pigment particle size, polymer matrix and addition of fine  $\gamma$ -Alumina particles. *Jpn. J. Appl. Phys.* 32(1991), 1182-1185.
- K. Jahanshahi, Investigation of several types of organic photoreceptor materials and comparison of their light and dark discharge curve, M.Sc Thesis, Iranian University of Science and Technology, Iran, 2006 (Persian).
- S. Zhang, N. Ali, Nanocomposite thin films and coatings, London. Imperial college press, 2007.
- R. Guinebretière, X-Ray diffraction by polycrystalline materials, ISTE Ltd, London. 2007.
- M. Birkholz, Thin film analysis by X-Ray scattering, Weinheim. WILEY-VCH, 2006.
- R. Snyder, R. Jenkin, Introduction to X-ray diffractometry, New York. John wiley & sons Inc, 1996.
- F. B. Sanchez, A. Orits, F. L. Cumbra, Analytical formulation of the variance method of line broadening analysis for voigtian X-ray diffraction peaks. *J. Appl. Cryst.* 39(2006), 598-600.
- V. Soleymanian, S. R. Aghdaee, Comparison methods of variance and line profile analysis for the evaluation of microstructures of materials. *Powder Diffr.* 23(2008), 41-51.
- F. B. Sanchez, F. L. Cumbera, The use of the pseudo-voigt function in the variance method of X-ray line-broadening analysis. *J. Appl. Cryst.* 15(1997), 430-438.
- G. E. Liu, X-Ray Diffraction from thin film structures: characterization and modeling, PhD Thesis, University of California, San Diego, USA, 2007.